

Sposób stosowania HSV-IFU (instrukcja obsługi)

205 South 600 West Logan, Utah 84323, Stany Zjednoczone Ameryki – Tel. (800) 729-8350 – Tel. (435) 755-9848 – Faks: (435) 755-0015 – www.scytek.com Wersja 1, 18.11.2024

Roztwór hematoksyliny (5%)

Opis i zasada

Roztwór Hematoksyliny (5%) jest składnikiem zestawu Elastic Stain Kit (zmodyfikowany Verhoeff's). Hematoksylinę stosuje się w roztworze roboczym z chlorem żelaza i jodem w celu wykazania elastyny w skrawkach tkanek.

Oczekiwane rezultaty

Włókna elastyczne:	do niebieskiego/czarnego
Jądra:	Niebieski do czarnego
Kolagen:	Czerwony
Mięśnie i inne:	Żółty

Zawartość zestawu (Cat# ETS-1)

Składowanie

Dodatkowy zestaw odczynników sprzedawany oddzielnie

1. Roztwór hematoksyliny (5%)	18-25°C
2. Chlorek żelaza (10%, wodny)	18-25°C
3. Roztwór jodu	18-25°C
4. Chlorek żelaza (2%) Roztwór różnicujący	18-25°C
5. Roztwór tiosiarczuanu sodu (5%)	18-25°C
6. Rozwiązanie Van Giesona	18-25°C

Sugerowane elementy sterujące (brak w zestawie)

Płuca lub jakakolwiek tkanka naczyniowa.

Zastosowania/ograniczenia

Wyłącznie do diagnostyki in vitro.

Nie używaj przeterminowanej daty ważności.

Należy zachować ostrożność podczas obchodzenia się z odczynnikami.

Niesterylne

Przeznaczony do odcinków FPPE ciętych z prędkością 5-10µm.

Ta procedura nie została zoptymalizowana pod kątem zamrożonych sekcji.

Zamrożone sekcje mogą wymagać modyfikacji protokołu.

Składowanie

Przechowuj zestaw i wszystkie elementy w temperaturze pokojowej (18-25°C).

Bezpieczeństwo i środki ostrożności

Prosimy o zapoznanie się z aktualnymi kartami charakterystyki (SDS) dla tego produktu i komponentów, klasyfikacją GHS, piktogramami i pełnymi zwrótami wskazującymi rodzaj zagrożenia/środkami ostrożności.

Przygotowanie odczynników przed rozpoczęciem:

- Przygotowanie **Praca elastyczna bejca Roztwór** Przez mieszanie:
 - 2 części roztworu hematoksyliny (5%)
 - 1 część Roztwór chlorku żelaza (10%)
 - 1 część Lugolski roztwór jodowy.

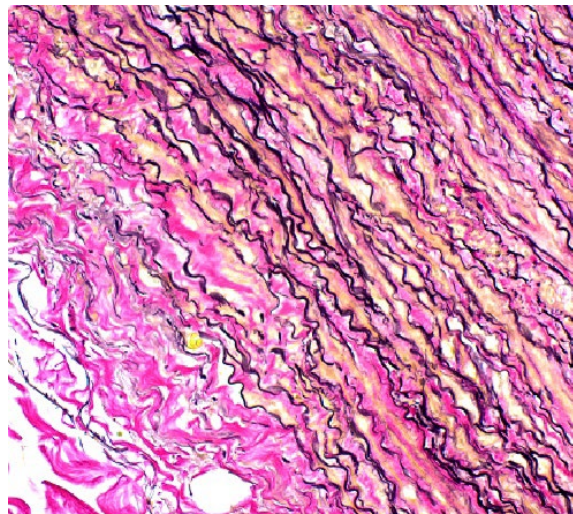
(Roztwór mieszany można stosować przez 24 godziny)

Przykład: 2 ml roztworu hematoksyliny, 1 ml chlorku żelaza, 1 ml jodu Lugola.

Przykład (zakraplacz): Użyj dołączonej fiołki z podziałką – 14 kropli (560 µl) + 7 kropli (280 µl) + 7 kropli (280 µl) Razem: 1120 µl lub 1,12 ml

(1 kropla = ~40µl)

Sugerujemy przygotowanie co najmniej 1 ml roztworu roboczego na szkiełko w przypadku barwienia na szkiełkach poziomych, ponieważ roztwór jest alkoholowy i bardziej podatny na parowanie.



Elastic fibers on Aorta demonstrated at using Elastic Stain Kit (Modified Verhoeff's) Magnification 200X

2. **Uwaga:** Płyn Lugola z jodem z czasem spowoduje przebarwienie wszystkich fiolek i etykiet zestawu. Nie wpływa to negatywnie na działanie tego produktu i ma charakter wyłącznie kosmetyczny.

3. **Uwaga:** Usuwanie złożeń rtęci nie jest wymagane w przypadku tkanek, które zostały utrwalone w utrwalaczach zawierających rtęć, ponieważ zostaną one usunięte przez roztwór barwiący.


Procedura

- W razie potrzeby odparafinować skrawki i uwodnić do wody destylowanej.
- Spląć sekcję tkanki działającym roztworem elastycznej plamy przez 15 minut.
- Spluć pod bieżącą wodą z kranu, aż na szkiełku nie pozostanie nadmiar plamy.
- Zanurzyć szkiełko w roztworze różnicującym chlorku żelaza (2%) 10-20 razy i spluć w wodzie z kranu.
- Sprawdź szkiełko mikroskopowo pod kątem prawidłowego rozróżnienia. W razie potrzeby powtórz krok 4.
- Spluć pod bieżącą wodą z kranu.
- Umieść szkiełko w roztworze tiosiarczuanu sodu (5%) na 1 minutę.

8. Płucz w wodzie z kranu przez 2 minuty, a następnie 2 razy zmieniaj w wodzie destylowanej.
9. Szkiełkuj płamą za pomocą roztworu Van Giesona przez 2 minuty.
10. Splucz na dwie zmiany 95% alkoholu.
11. Odwodnić w alkoholu bezustannym.
12. Wyczyść i zamontuj w żywicy syntetycznej.

Odwołania

1. Och, S.; Rho, N.-K.; Byun, K.-A.; Yang, J.Y.; Słońce, H.J.; Jang, M.; Kang, D.; syn K.H.; Byun, K. Połączone leczenie monopolarną i bipolarną radiofrekwencją zwiększa elastyczność skóry poprzez zmniejszenie akumulacji zaawansowanych glikowanych produktów końcowych w starzejącej się skórze zwierzęcej. *Int. J. Mol. Sci.* 2022, 23, 2993. <https://doi.org/10.3390/ijms23062993>
2. Kim, J.; Jęgo Wysokość; Byun, K.-A.; Och, S.; Yang, J.Y.; Park, H.J.; Chung, M.S.; syn K.H.; Byun, K. Mieszanka miejscowych form polideoksyrybonukleotydu, witaminy C i niacynamidu osłabiła pigmentację skóry i zwiększyła elastyczność skóry poprzez modulację czynnika jądrowego erytroidalnego 2-podobnego do 2. *Cząsteczki* 2022, 27, 1276. <https://doi.org/10.3390/molecules27041276>
3. Shimazu Y, Zhang B, Yue Z, Wallace GG, Fukuda J. Inżynieria perfuzyjnych dwuwarstwowych struktur naczyniowych wykorzystujących skurcz hydrożelu zatopionego w sferoidzie i odłączanie ogniw elektrochemicznych. *Czasopismo nauk biologicznych i bioinżynierii*. 2019 1 stycznia; 127(1):114-20.
4. Hanna M, Muller-Delp JM, Vinogradova OL, Delp MD, Behnke BJ, Stabley JN, McCullough DJ, Maraj JJ, Sofronova SI, Tarasova OS, Gaynullina D. Lot kosmiczny na biosatelicie Bion-M1 zmienia mózg. *J Appl Physiol*. 2015;118:830-8.
5. L. Venkataraman, B. Sivaraman, P. Vaidya i A. Ramamurthi, "Nanocząsteczkowe dostarczanie środków do indukowanej elastogenezy w trójwymiarowych matrycach kolagenowych", *Journal of Tissue Engineering and Regenerative Medicine*, kwiecień 2014.
6. H. M. Kim, Y. Y. Lim, M. Y. Kim, I. P. Son, D. H. Kim, S. R. Park, S. K. Seo, M. S. Lee, S.-K. Mun, C. W. Kim i B. J. Kim, "Hamujący wpływ tianeptyny na indukcję katagenu w zmianach podobnych do łysienia plackowatego wywołanych stresem fal ultradźwiękowych u myszy", *Dermatologia Kliniczna i Eksperymentalna*, tom 38, nr 7, s. 758-767, październik 2013 r.
7. H.-J. Harn, M.-H. Huang, C.-T. Huang, P.-C. Lin, S.-Y. Jen, Y.-W. Chou, T.-J. Ho, H.-Y. Chu, T.-W. Chiou i S.-Z. Lin, "Odmładzanie starzejącej się skóry twarzy świni poprzez przeszczepienie allogenicznym czynnikiem stymulującym tworzenie kolonii granulocytów wywołanych czynnikiem obwodowym
8. Blood Stem Cells from a Young Pig, *Cell Transplantation*, vol. 22, nr 4, s. 755-765, kwiecień 2013.
9. Vass, D.G. i wsp. Wartość elastycznego barwienia tkanki w wykrywaniu inwazji żyłnej w raku jelita grubego. *Journal of Clinical Pathology*, lipiec; 57(7); strony 769-772, 2004.
10. Prorok, E.B., i wsp. A.F.I.P. Metody laboratoryjne w histotechnologii. Strona 134, 1994.
11. Carson, F.L., *Histotechnologia: tekst samoinstruktażowy*, ASCP Press, Chicago, IL. Strony 138-139, 1990.
12. O'Connor, WN, Valle, S., Połączenie elastycznego barwnika Verhoffa i trójkolorowego Massona do rutynowej histologii. *Technologia płam*, lipiec 1982 r.; 57(4): strony 207-210.
13. Sheenan, D.C., Hrapchak, B.B. *Teoria i praktyka histotechniki*, wydanie 2. CV Mosby, St. Louis, MO. Strony 196-197, 1980.
14. Mallory, F.B. *Technika patologiczna*, wydanie 3. Hafner Publishers, Nowy Jork. Strona 169, 1968.

 ScyTek Laboratories, Inc.
205 South 600 West
Logan, UT 84321
U.S.A.

Emergo Europe
Westervoortsedijk 60
6827 AT Arnhem, The Netherlands